

## ORIGINAL ARTICLE

# **Evaluation of cytotoxicity, antioxidant and DNA-Binding properties of turmeric extracts**

Samaneh Noori<sup>1</sup>,  
Maryam Kolahi<sup>2</sup>,  
Ali Reza Kiasat<sup>3</sup>,  
Roya Mirzajani<sup>4</sup>,  
Seyyed Mansour Seyyed Nejad<sup>5</sup>

<sup>1</sup> MSc Student in Phytochemistry, Faculty of Sciences, Shahid Chamran University of Ahvaz, Ahvaz, Iran

<sup>2</sup> Assistant Professor, Department of Biology, Faculty of Sciences, Shahid Chamran University of Ahvaz, Ahvaz, Iran

<sup>3</sup> Professor, Department of Chemistry, Faculty of Sciences, Shahid Chamran University of Ahvaz, Ahvaz, Iran

<sup>4</sup> Associate Professor, Department of Chemistry, Faculty of Sciences, Shahid Chamran University of Ahvaz, Ahvaz, Iran

<sup>5</sup> Professor, Department of Biology, Faculty of Sciences, Shahid Chamran University of Ahvaz, Ahvaz, Iran

(Received November 19, 2017 Accepted May 30, 2017)

### **Abstract**

**Background and purpose:** Turmeric (*Curcuma longa* L.) has received much interest by researchers due to numerous biological properties. The aim of this study was to compare the anticancer and antioxidant properties of turmeric extracts on colon cancer cells Caco-2 and to survey DNA fragmentation by the extracts.

**Materials and methods:** In order to investigate the cytotoxicity and antioxidant properties and DNA fragmentation, turmeric extracts were prepared by maceration, ultrasonic-assisted extraction (UAE), and soxhlet. The effect of these extracts and curcumin on colon cancer cells Caco-2 was examined by MTT and NBT assay. Then, to study the DNA fragmentation by the extracts DNA-Binding was done.

**Results:** MTT assay showed that the lowest survival rates were observed for cells treated with the extracts of hexane and ethanol. The results of the NBT showed that the highest amount of percentage of free radicals reduction occurred with maceration extract, ultrasonic extract, and extraction by hexane and ethanol. According to DNA-Binding test, ultrasonic extraction was highly effective in degeneration of DNA.

**Conclusion:** Investigations show that different extracts of turmeric alone or in combination with chemical anticancer drugs could be used as a new approach in treatment of cancer. Turmeric extract using hexane and ethanol has a great potential in development of modern drugs and can be introduced as a useful source of new leading compounds or pharmacophores.

**Keywords:** anti-cancer, colon cancer, curcumin, DNA fragmentation, turmeric.

J Mazandaran Univ Med Sci 2017; 27 (153): 13- 27 (Persian).

## بررسی ویژگی‌های سمیت سلولی، آنتی‌اکسیدانی و اتصال به DNA عصاره‌های زرد چوبه

سمانه نوری<sup>۱</sup>

مریم کلاهی<sup>۲</sup>

علیرضا کیاست<sup>۳</sup>

رویا میرزا جانی<sup>۴</sup>

سید منصور سید نژاد<sup>۵</sup>

### چکیده

**سابقه و هدف:** زرد چوبه به سبب خواص بیولوژیکی بی‌شمار، از دیر باز مورد توجه محققان قرار گرفته است. هدف از این پژوهش مقایسه برخی خواص ضد سرطانی و آنتی‌اکسیدانی عصاره‌های زرد چوبه بر روی سلول‌های Caco-2 سرطان روده و بررسی شکست DNA توسط عصاره‌ها می‌باشد.

**مواد و روش‌ها:** به منظور بررسی خواص سیتوکسیستی، آنتی‌اکسیدانی و شکست DNA، عصاره‌های زرد چوبه به سه روش ماسرسایون، اولتراسونیک و سوکسله تهیه گردید. اثر این عصاره‌ها و کور‌کومین بر روی سلول‌های Caco-2 سرطان روده به وسیله آزمون‌های MTT و NBT مورد بررسی قرار گرفت. سپس به منظور بررسی شکست DNA توسط نمونه کور‌کومین و عصاره‌ها، آزمون DNA-Binding انجام گرفت.

**یافته‌ها:** نتایج به دست آمده از روش MTT نشان داد که کمترین بقا سلول‌های تیمار شده، مربوط به عصاره استخراجی با دو حلال هگزان و اتانول می‌باشد. بیشترین میزان کاهش درصد رادیکال‌های آزاد به روش NBT مربوط به عصاره‌های ماسرسایون، اولتراسونیک و استخراج با دو حلال هگزان و اتانول است. و نتایج حاصل از بررسی آزمون DNA-Binding نشان داد که عصاره اولتراسونیک بیشترین تاثیر را بر قطعه قطعه شدن DNA دارد.

**استنتاج:** بررسی‌های انجام شده نشان می‌دهد که عصاره‌های مختلف در زرد چوبه به تنها ی و یا همراه با داروهای شیمیایی ضد سرطان می‌تواند راهکاری نوین برای درمان سرطان باشد. عصاره استخراجی با دو حلال هگزان و اتانول زرد چوبه پتانسیل بالایی در توسعه داروهای مدرن دارد و می‌تواند به عنوان یک منع مفید از ترکیبات جدید پیشرو یا فارماکوفورها معروفی گردد.

**واژه‌های کلیدی:** زرد چوبه، سرطان روده، شکست DNA، ضد سرطانی، کور‌کومین.

### مقدمه

است که از آن چندین ساقه‌ی هوایی بیرون می‌آید. برگ‌های آن سبز روشن، شبیه به برگ موز به درازای نیم تا یک متر می‌باشد که در قسمت پایین ساقه

زرد چوبه<sup>۱</sup> با نام علمی *Curcuma longa L* گیاهی است متعلق به خانواده زنجبیل<sup>۲</sup>، که ارتفاع آن به یک و نیم متر می‌رسد و دارای ساقه‌ی زیرزمینی (ریزوم) متورم

<sup>1</sup> Turmeric

<sup>2</sup>Zingiberaceae

Email: m.kolahi@scu.ac.ir

**مؤلف مسئول: مریم کلاهی**-اهواز، دانشگاه شهید چمران اهواز، دانشکده علوم، گروه زیست‌شناسی

۱. داشتجویی کارشناسی ارشد فیتوشیمی، دانشکده علوم، دانشگاه شهید چمران اهواز، ایران

۲. استادیار، گروه زیست‌شناسی، دانشکده علوم، دانشگاه شهید چمران اهواز، اهواز، ایران

۳. استاد، گروه شیمی، دانشکده علوم، دانشگاه شهید چمران اهواز، اهواز، ایران

۴. دانشیار، گروه شیمی، دانشکده علوم، دانشگاه شهید چمران اهواز، اهواز، ایران

۵. استاد، گروه زیست‌شناسی، دانشکده علوم، دانشگاه شهید چمران اهواز، اهواز، ایران

تاریخ دریافت: ۱۳۹۵/۹/۲۹ تاریخ ارجاع جهت اصلاحات: ۱۳۹۵/۹/۲۹ تاریخ تصویب: ۱۳۹۶/۳/۹

ایمنی بدن، القای تمايز سلول‌ها، مهار فعالیت تلومراز و القاء آپوپتوز سلول‌های سرطانی، اثر ضد سرطانی از خود بروز می‌دهند<sup>(۱۴، ۱۱)</sup>. گیاهان دارویی و مشتقات ترکیبات گیاهی آن‌ها به طور فراینده به عنوان مکملی سودمند برای درمان سرطان شناخته شده‌اند. مطالعات بالینی زیادی نیز اثرات شفا بخش داروهای گیاهی را در ترکیب با داروهای شیمیایی در بقا، مدولاسیون سیستم ایمنی بدن، و کیفیت زندگی (QOL) در بیماران مبتلا<sup>(۱۵)</sup> بررسی کرده‌اند. اثرات ضد سرطانی زرد به سرطان گزارش کرده‌اند<sup>(۱۶)</sup>. بیشتر در سرطان گزارش کرده‌اند<sup>(۱۷)</sup>. این نتایج اثبات می‌دانند که درین منظور با اهمیت بوده که مصرف این ماده با دوز بالا، مانع از تکثیر سلول‌های سرطانی شده و به سلول‌های سالم آسیبی وارد نمی‌کند<sup>(۱۸)</sup>. بیشتر درمان‌های ضد سرطانی حاضر، درمان‌های تک هدفی<sup>۳</sup> است که برخی از این نوع درمان‌ها به خاطر ناکارایی، عدم ایمنی و هزینه‌ی بالا، درمان‌های چندان مطمئنی نیستند، بنابراین بسیاری از شرکت‌های داروسازی به گسترش درمان‌های چند هدفی روی آوردند<sup>(۱۹)</sup>. با توجه به پیچیدگی و دخالت مسیرهای سیگنالینگ متعدد در ایجاد و پیشرفت سرطان، باید دارویی طراحی شود که بتواند با مولکول‌های متعددی برهم کنش داشته باشد. بسیاری از محصولات گیاهی از جمله کورکومین، به طور طبیعی چند هدفی می‌باشد و در مقایسه با داروهای صناعی، ارزان‌تر بوده و کارایی بیشتری می‌تواند دارا باشد. چند هدفی<sup>۴</sup> بودن کورکومین، کلید پتانسیل درمانی آن در برابر سرطان و بسیاری از بیماری‌ها است<sup>(۲۰)</sup>.

کورکومین، 1,7-bis(4-hydroxy3-methoxyphenyl)-1,6-heptadiene-3,5-dione مولکولی  $C_{21}H_{20}O_6$  می‌باشد. از مشتقات آن می‌توان به دمتوکسی کورکومین و بیس دمتوکسی کورکومین اشاره نمود<sup>(۲۰)</sup> (شکل شماره ۱).

بدون دمبرگ و در قسمت بالا، برگ‌های کامل دیده می‌شود. این گیاه بومی نواحی شرقی شبه قاره‌ی هند و مناطق حاره‌ی جنوبی آسیا بوده و طبیعت آن گرم و خشک می‌باشد. از جمله ترکیبات شیمیایی این گیاه می‌توان به نشاسته، الکل، زینچی برن، کارون، فلاندرن، آلکالوئید، اسانس روغنی فرار، کورکومون و ماده رنگی کورکومین اشاره نمود که یک ماده بسیار موثر در درمان بسیاری از بیماری‌ها از جمله سرطان می‌باشد<sup>(۲۱)</sup>. سرطان بیماری تکثیر بیش از حد سلول‌ها است که در آن سلول‌ها توانایی تقسیم و رشد عادی خود را از دست می‌دهند و این موضوع منجر به تغییر و تحول در متابولیسم سلول، اختلال در نظم آپوپتوز، تهاجم، رگ‌زایی و متاستاز می‌شود. آمارها نشان می‌دهد که بیش از ۱۰۰ نوع سرطان شناسایی شده است و در سراسر جهان بیش از ۷ میلیون مرگ و میر در سال مربوط به بیماری سرطان است، که این آمار از مرگ و میر ناشی از ایدز (HIV)، مalaria و حتی سل بیش تر است<sup>(۲۲)</sup>. تخمین زده می‌شود که تعداد موارد جدید سرطان به ۱۵ میلیون در سال تا سال ۲۰۲۰ بررسد که ۷۰ درصد آن در کشورهای در حال توسعه پیش‌بینی می‌شود<sup>(۲۳)</sup>. سرطان روده بزرگ، سومین سرطان شایع در زنان و مردان و دومین علت شایع مرگ ناشی از سرطان در ایالات متحده است. در سال ۲۰۰۸، ۱۴۸۸۱۰ مورد جدید سرطان روده تشخیص داده شد که از این بین ۹ درصد از مرگ ناشی از سرطان، در زنان و ۸ درصد در مردان گزارش شد<sup>(۲۴)</sup>. از روزگاران قدیم محصولات طبیعی گیاهی به عنوان منابع مفید طب سنتی برای درمان بسیاری از بیماری‌ها از جمله عفونت‌ها و بیماری‌های بدخیم مورد استفاده قرار گرفته‌اند<sup>(۲۵)</sup>. بررسی‌های مختلف نشان می‌دهد که عصاره‌های برخی گیاهان دارویی فعالیت‌های ضدسرطانی را در دو شرایط درون شیشه و درون موجود زنده نشان داده‌اند<sup>(۲۶، ۲۷)</sup>. تعداد فراینده‌ای از مطالعات نیز نشان می‌دهد که گیاهان دارویی با روش‌های مختلف از جمله افزایش سیستم

<sup>3</sup> Mono-targeted

<sup>4</sup> Multi-targeted

زیست‌شناسی دانشگاه شهید چمران اهواز، نمونه با استفاده از آسیاب پودر گردید.

### عصاره گیری از گیاه

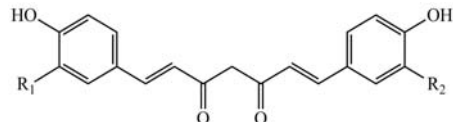
عصاره های اتانولی گیاه زرد چوبه به سه روش ماسرسیون، اولتراسونیک و سوکسله تهیه گردید.

عصاره گیری به روش ماسرسیون: در ابتدا ۱۰ گرم از پودر زرد چوبه وزن گردید. سپس ۱۲۰ mL اتانول ۹۶ درصد به عنوان حلال افزوده شد. پودر گیاه به مدت ۴۸ ساعت در تماس با حلال بر روی همزن مغناطیسی قرار گرفت و بعد از مدت تعیین شده، آن را صاف کرده و به منظور تغلیظ کردن آن از دستگاه روتاری استفاده گردید. سپس عصاره به دست آمده به منظور خشک شدن درون آون با دمای  $45^{\circ}\text{C}$  قرار داده شد.(۲۴).

عصاره گیری به روش اولتراسونیک: به ۱۰ گرم از پودر زرد چوبه ۱۲۰ mL اتانول ۹۶ درصد به عنوان حلال به آن افزوده شد و در معرض امواج صوتی با فرکанс ۴۰ KHz به مدت ۶ دقیقه درون حمام اولتراسونیک قرار گرفت. عصاره به دست آمده صاف گردیده و توسط روتاری تحت خلا، حلال آن تبخیر گردید. سپس درون آون با دمای  $45^{\circ}\text{C}$  به مدت ۱ روز نگهداری شد(۲۵). (۲۰،

عصاره گیری به روش سوکسله: ۱۰ گرم از پودر زرد چوبه درون انگشتانه دستگاه سوکسله قرار داده شد. سپس ۱۲۰ mL اتانول ۹۶ درصد درون بالن ریخته و بالن درون حمام روغن، تحت شرایط رفلاکس قرار داده شد و عمل عصاره گیری به مدت ۴ ساعت ادامه یافت. بعد از اتمام این فرایند، عصاره به دست آمده روتاری شد و در آون با دمای  $45^{\circ}\text{C}$  قرار گرفت(۲۶).

استخراج توسط دو حلال هگزان و اتانول: ۱۱ گرم از پودر زرد چوبه وزن و به آن ۱۲۰ mL هگزان افزوده شد. پودر گیاه به مدت ۲۴ ساعت در تماس با حلال بر روی همزن مغناطیسی قرار گرفت. سپس، آن را صاف



$\text{R}_1 = \text{R}_2 = \text{OCH}_3$  : Curcumin  
 $\text{R}_1 = \text{OCH}_3$  ,  $\text{R}_2 = \text{H}$  : Demethoxycurcumin  
 $\text{R}_1 = \text{R}_2 = \text{H}$  : Bis-demethoxycurcumin

شکل شماره ۱: ساختار کورکومین و مشتقات آن

پتانسیل ضد سرطانی کورکومین در برابر انواع مختلفی از سرطان‌ها از جمله لوکمی، لیمفوما، سرطان‌های گواراشی، ادراری-تناسلی، سینه، رحم و تومورهای مغزی و ... نشان داده است که شواهد بسیار محکمی در تایید اثر ضد توموری کورکومین و عملکرد آن بر روی سلول‌های توموری وجود دارد(۲۱، ۲۲، ۲۳). مکانیسم‌هایی که کورکومین به واسطه‌ی آن‌ها موجب مهار تومور می‌شود شامل ترکیبی از خواص آنتی‌اکسیدانی، ضد التهابی، ضد رگزایی، ضد متاستازی، مهار سیکل سلولی و پروآپوپتوئیک است که از طریق تنظیم زن‌ها و مولکول‌های دخیل در این مسیرها، اثرات مهاری خود بر سرطان را القا می‌کند(۲۳). با توجه به اهمیت بالای کورکومین در فرایندهای زیستی و همچنین در درمان بسیاری از بیماری‌ها، در این پژوهش سعی بر آن شد که عصاره‌های زرد چوبه به سه روش ماسرسیون، اولتراسونیک و سوکسله (اتانول طبی ۹۶ درصد به عنوان حلال) تهیه گردد. سپس به منظور بررسی خواص سیتو توکسی‌سیتی و آنتی‌اکسیدانی زرد چوبه، اثر این عصاره‌ها بر روی سلول‌های Caco-2 سرطان روده به وسیله آزمون‌های MTT و NBT مورد بررسی قرار گرفت. در نهایت به منظور بررسی تغییرات ساختار DNA در برهم کنش با عصاره‌های مختلف، آزمون DNA-Binding انجام شد.

## مواد و روش‌ها

### آماده سازی نمونه

پس از تهیه ریزوم زرد چوبه هندی از بازار اهواز و شناسایی آن توسط بخش گیاه‌شناسی گروه

استاندارد و انواع عصاره‌های زرد چوبه در چهار غلظت  $\mu\text{g mL}^{-1}$  ۱۰، ۱۵، ۲۰ و ۲۰، پس از مدت ۲۴ ساعت تیمار شدند. پس از تخلیه‌ی محیط کشت سلول‌های حاوی تیمارهای مختلف،  $10\mu\text{L mL}^{-1}$  MTT  $10\mu\text{g mL}^{-1}$  در میزان  $1000\mu\text{L}$  PBS افزوده و حداقل ۳/۵ ساعت در دمای  $37^\circ\text{C}$  انکوبه شد. سپس  $100\mu\text{L}$  دی‌متیل سولفوکسید افزوده و ۱۰ دقیقه در دمای آزمایشگاه گردید. نتایج بر اساس مقایسه جذب نمونه‌ها در طول موج  $560\text{ nm}$  قرائت نموده شدند و جذب در طول موج  $560\text{ nm}$  نسبت به گروه کنترل گزارش گردید. سپس مقادیر  $\text{IC}_{50}$  برای نمونه استاندارد و عصاره‌های زرد چوبه محاسبه گردید (۲۷).

بررسی اثر تیمار کورکومین و عصاره‌های مختلف زرد چوبه بر میزان <sup>۸</sup> ROS درون سلولی سلول‌های *Caco-2* توسط آزمون <sup>۹</sup> NBT سلول‌های *Caco-2* در پلیت‌های ۹۶ خانه‌ای و در هر خانه به تعداد  $10^3 \times 4$  سلول در حجم  $150\mu\text{L}$  محیط DMEM حاوی  $10\%$  FBS کشت داده شدند. پس از ۲۴ ساعت محیط رویی سلول‌ها مجدداً تخلیه شده و سلول‌های با  $150\mu\text{L}$  از کورکومین استاندارد و انواع عصاره‌های زرد چوبه در چهار غلظت  $\mu\text{g mL}^{-1}$  ۲۰، ۱۵، ۱۰، ۵، پس از مدت ۲۴ ساعت تیمار شدند. پس از تخلیه‌ی محیط کشت سلول‌ها حاوی تیمارهای مختلف،  $100\mu\text{L}$   $100\mu\text{g mL}^{-1}$  NBT در  $100\mu\text{L}$  PBS ریقیق شده، به آن افزوده و به مدت ۲ ساعت در دمای  $37^\circ\text{C}$  انکوبه گردید. سپس به نمونه‌ها  $100\mu\text{L}$  فسفات بافر سالین افزوده و با دور  $5000\times$  و به مدت ۱۰ دقیقه سانتریفیوژ انجام شد. پس از جدا سازی مایع رویی،  $100\mu\text{L}$  دی‌متیل سولفوکسید و  $60\mu\text{L}$  پتاسیم هیدروکسید  $1\text{ mol L}^{-1}$  به رسوب حاصل از مرحله قبل اضافه و جذب در

کرده و پودر زرد چوبه صاف شده به مدت یک ساعت جهت خشک شدن کامل، درون آون با دمای  $45^\circ\text{C}$  قرار داده شد. به  $10\text{ g}$  از پودر حاصله  $120\text{ mL}$  اتانول  $96\%$  درصد افزوده شد. پودر گیاه به مدت ۴۸ ساعت در تماس با حلal بر روی همنز مغناطیسی قرار گرفت و بعد از مدت تعیین شده، صاف و به منظور تغلیظ کردن آن از دستگاه روتاری استفاده گردید (۲۶). سپس عصاره به دست آمده به منظور خشک شدن درون آون با دمای  $45^\circ\text{C}$  قرار داده شد.

#### بررسی اثر سمیت سلولی

##### کشت سلولی

رده‌ی سلولی آدنوكارسینومای اپسی تیمال روده‌ی بزرگ انسانی-۲، *Caco-2*، (NCBI code: C139) از انسیتو پاستور ایران خریداری شد. سلول‌ها در محیط کشت <sup>۵</sup> DMEM حاوی  $10\%$  درصد سرم گاوی (FBS) در فلاسک کشت سلولی  $25\text{ cm}^2$  (Nunc دانمارک) و در شرایط مناسب در انکوباتور  $37^\circ\text{C}$  و  $5\% \text{CO}_2$  کشت داده شدند (۲۷).

بررسی اثر تیمار کورکومین و عصاره‌های مختلف زرد چوبه بر سلول‌های *Caco-2* توسط روش *MTT* به منظور بررسی اثر کورکومین استاندارد و عصاره‌های زرد چوبه بر رشد و تکثیر سلول‌های سرطانی، از روش رنگ‌سننجی <sup>۶</sup> MTT استفاده شد. این روش بر اساس توانایی سلول‌های زنده در تبدیل نمک تترازولیوم به فورمازان <sup>۷</sup> نامحلول عمل می‌کند. جهت انجام آزمایش، سلول‌های *Caco-2* پس از شمارش، تریپسینه و پس از سانتریفیوژ رسوب داده شدند. سپس در پلیت ۹۶ خانه‌ای و در هر خانه به تعداد  $10^3 \times 4$  سلول در حجم  $150\mu\text{L}$  محیط DMEM کشت داده شدند. پس از ۱۶-۲۴ ساعت محیط رویی سلول‌ها مجدداً تخلیه شده و سلول‌ها با  $150\mu\text{L}$  از کورکومین

<sup>۸</sup> Reactive oxygen species

<sup>۹</sup> Nitro Blue Tetrazolium

<sup>۵</sup> Dulbecco's Modified Eagle's Medium

<sup>۶</sup> Methyl Thiazolyl Tetrazolium

<sup>۷</sup> Formazan

دانکن انجام شد. نمودارهای مقایسه میانگین با نرم افزار Excel (۲۰۱۰) رسم شدند.

## یافته ها

نتایج سنجش زیست مانی سلول های سرطانی تیمار شده با کور کومین و عصاره های مختلف زرد چوبه از مقایسه داده های به دست آمده از سنجش درصد زنده مانی سلول های سرطانی تیمار شده با نمونه استاندارد کور کومین در زمان ۲۴ ساعت در چهار غلظت  $\mu\text{g mL}^{-1}$  ۵، ۱۰، ۱۵ و ۲۰ مشخص شد که میزان زنده مانی در غلظت های مختلف با هم اختلاف معنی داری دارند و با افزایش غلظت میزان درصد مهار کنندگی افزایش می یابد ( $p < 0.05$ ) همان گونه که در شکل شماره A-۲ مشاهده می گردد بیشترین درصد زنده مانی سلول ها در غلظت  $\mu\text{g mL}^{-1}$  ۵ و کمترین درصد زنده مانی در غلظت های  $\mu\text{g mL}^{-1}$  ۱۵ و ۲۰ بوده است (شکل شماره A-۲).

داده های حاصله از زنده مانی سلول ها در زمان ۲۴ ساعت، برای نمونه سوکسله زرد چوبه حاکی از آن است که بیشترین درصد زنده مانی سلول ها، در غلظت  $\mu\text{g mL}^{-1}$  ۵ و کمترین درصد زنده مانی در غلظت  $\mu\text{g mL}^{-1}$  ۲۰ بوده است (شکل شماره D-۲).

نتایج حاصله از زنده مانی سلول ها برای نمونه استخراج شده با دو حلal هگزان و اتانول نشان داد که بیشترین درصد زنده مانی سلول ها، در غلظت  $\mu\text{g mL}^{-1}$  ۱۰ و ۵ بوده که با یکدیگر اختلاف معنی داری نداشتند. این در حالی است که کمترین درصد زنده مانی در غلظت های  $\mu\text{g mL}^{-1}$  ۲۰ و ۱۵ بوده است ( $p < 0.05$ ). (شکل شماره E-۲).

طول موج ۵۴۰ nm قرائت گردید. نتایج بر اساس میزان جذب فورمازون تولید شده، گزارش گردید (۲۸).

بررسی ویژگی های *DNA-Binding* کور کومین و عصاره های مختلف زرد چوبه بررسی میزان DNA fragmentation با الکتروفورز ژل آگارز: برای تهیه ژل آگارز ۱ درصد، ۰/۷ گرم از پودر آگارز وزن شده و در ۷۰ میلی لیتر بافر X ۱۰ TAE در یک ارلن کوچک حل گردید و توسط دستگاه ماکروویو به دمای جوش رسید تا آگارز به خوبی حل شود. پس از رسیدن دمای ژل به حدود ۵۰ °C، ۲ μL سیف استین اضافه و ژل در قالب مخصوص ریخته شد.

بارگذاری ژل و انجام الکتروفورز: در ابتدا ۱۵ μL از نمونه استاندارد و عصاره های زرد چوبه با غلظت  $\mu\text{g mL}^{-1}$  ۲۰ را با ۱۵ μL از DNA خالص مخلوط کرده و به خوبی همراه شد و سپس به مدت ۴ ساعت درون انکوباتور با دمای ۳۷°C قرار داده شدند. پس از تهیه ژل آگارز، ۲ μL از ترکیب عصاره و ۲ μL بافر بافر سنگین کننده<sup>۱۱</sup> مخلوط و درون ژل، بارگذاری گردید. هم چنین جهت اطمینان از صحت طول قطعه تکثیر شده، ۳/۵ μL نشانگر مولکولی<sup>۱۲</sup> استفاده شد. پس از بارگیری چاهک ها جریان برق ۱۰۰ ولت (میزان ولتاژ مورد استفاده در الکتروفورز ژل آگارز تقریباً ۵ ولت به ازاء هر سانتیمتر فاصله بین دو قطب است) در تانک الکتروفورز برقرار گردید. پس از پایان الکتروفورز جهت مشاهده باندهای تفکیک شده، ژل در دستگاه ترانس لومیناتور<sup>۱۳</sup> قرار داده شد و با تابش نور فرابنفش با طول موج ۳۰۲ nm بر روی ژل، میزان DNA و میزان قطعه قطعه شدن آن مورد بررسی قرار گرفت (۲۹).

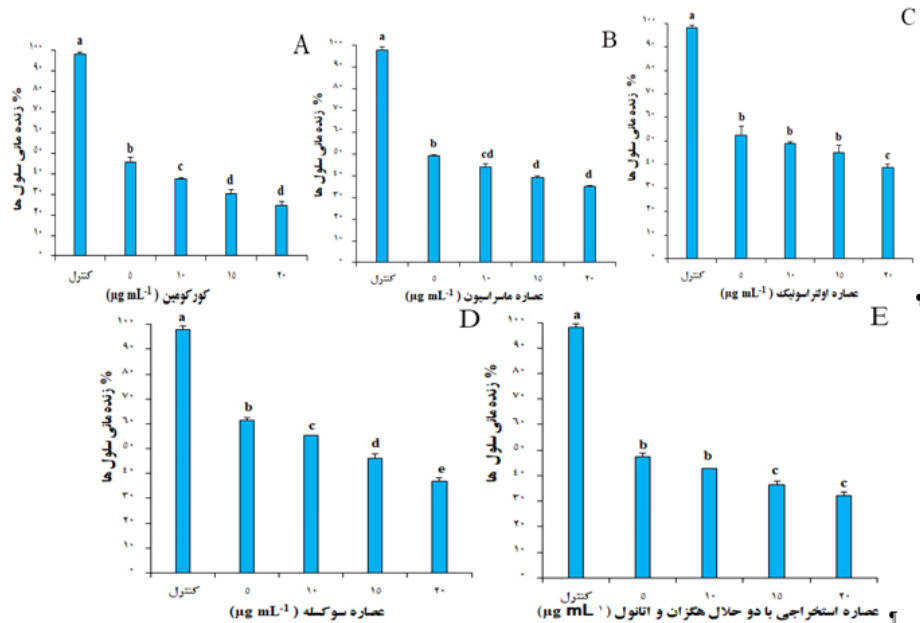
**آنالیز آماری داده ها**  
آزمون نرمال داده های به دست آمده با نرم افزار SPSS انجام گردید، مقایسه میانگین داده ها با روش

<sup>10</sup> Tris-Acetate-EDTA

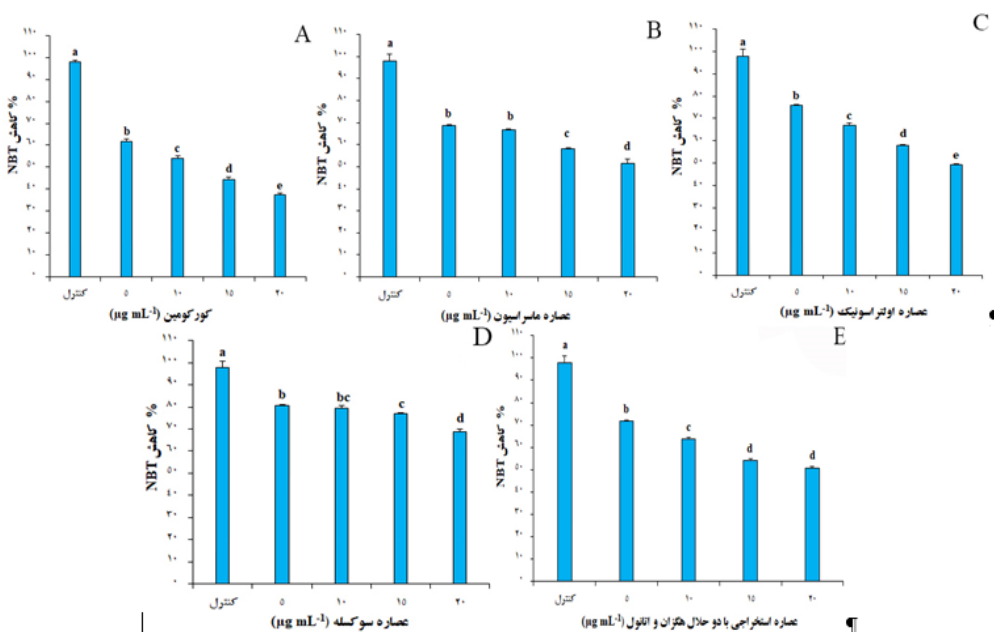
<sup>14-</sup> Loading dye

<sup>12-</sup> Lader

<sup>13-</sup> Transilluminator



شکل شماره ۲: زنده‌مانی سلول‌های سرطان روده تیمار شده با نمونه استاندارد و عصاره‌های زرد چوبه در غلاظت‌های مختلف به مدت ۲۴ ساعت: A: نمونه استاندارد کور کومین; B: عصاره ماسراسیون; C: عصاره اولتراسوئیک; D: عصاره سوکله; E: عصاره استخراج شده با دو حلال هگران و اتانول. حروف مشابه در بالای ستون‌ها معنی دار بین میانگین‌های مقادیر درصد زنده‌مانی سلول‌ها برای هر نمونه در غلاظت‌های متفاوت از عصاره‌های مختلف می‌باشد.

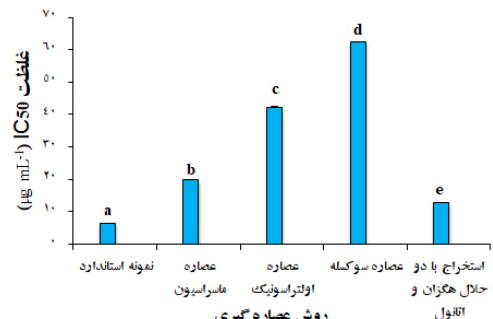


شکل شماره ۴: میزان ROS درون سلولی سلول‌های سرطان روده تیمار شده با نمونه استاندارد کور کومین و عصاره‌های مختلف زرد چوبه به مدت ۲۴ ساعت: A: نمونه استاندارد کور کومین; B: عصاره ماسراسیون; C: عصاره اولتراسوئیک; D: عصاره سوکله; E: عصاره استخراج شده با دو حلال هگران و اتانول. حروف مشابه در بالای ستون‌ها معنی دار بین میانگین‌های مقادیر درصد کاهش NBT برای هر نمونه در غلاظت‌های متفاوت از عصاره‌های مختلف می‌باشد.

A: نشانگر مولکولی B: عصاره هی ماسراسیون. C: اولتراسونیک. D: سوکله. E: استخراج با دو حلال هگزان و اتانول زرد چوبه. F: نمونه استاندارد کور کومین با Zrd چوبه. G: DNA خالص. نتایج اندازه گیری کاهاش رادیکال های آزاد سلول های سرطانی تیمار شده با کور کومین و عصاره های مختلف زرد چوبه از مقایسه داده های به دست آمده از میزان درصد رادیکال های آزاد سلول های سرطانی تیمار شده با نمونه استاندارد کور کومین و همچنین عصاره های ماسراسیون، اولتراسونیک، سوکله و استخراج با دو حلال هگزان و اتانول زرد چوبه در چهار غلظت  $10\text{ }\mu\text{g mL}^{-1}$ ،  $15\text{ }\mu\text{g mL}^{-1}$  و  $20\text{ }\mu\text{g mL}^{-1}$  مشخص شد که بیشترین میزان کاهاش NBT در زمان ۲۴ ساعت، در غلظت  $20\text{ }\mu\text{g mL}^{-1}$  و کمترین آن در غلظت  $10\text{ }\mu\text{g mL}^{-1}$  بود و گروه های تیمار شده نسبت به کنترل اختلاف معنی داری نشان دادند (شکل شماره ۴).

از مقایسه داده های به دست آمده از میزان کاهاش درصد رادیکال های آزاد سلول های سرطانی تیمار شده با عصاره های مختلف زرد چوبه در غلظت  $20\text{ }\mu\text{g mL}^{-1}$  به روش های ماسراسیون، اولتراسونیک، سوکله و استخراج با دو حلال هگزان و اتانول مشخص شد که تفاوت میانگین میزان کاهاش NBT در زمان ۲۴ ساعت، در گروه های تیمار نسبت به گروه کنترل در سطح  $0.05 < p$  معنی دار بود. میزان کاهاش رادیکال های آزاد در گروه های تیمار شده با عصاره ماسراسیون، اولتراسونیک و استخراج با دو حلال هگزان و اتانول اختلاف معنی داری نداشت. همچنین، میزان کاهاش درصد رادیکال های آزاد در این سه گروه نسبت به گروه تیمار شده با عصاره سوکله با اختلاف معنی داری بیشتر بود. بیشترین میزان کاهاش درصد رادیکال های آزاد مربوط به گروه تیمار شده با نمونه استاندارد بود (شکل شماره ۵).

بررسی به دست آمده از نمونه استاندارد و عصاره ها بر روی سلول های سرطان روده در زمان ۲۴ ساعت نشان داد که نمونه استاندارد کور کومین با اختلاف معنی داری نسبت به عصاره ها کمترین  $IC_{50}$  به خود اختصاص داد. این در حالی است که بعد از نمونه استاندارد کمترین  $IC_{50}$  مربوط به عصاره استخراجی با دو حلال هگزان و اتانول می باشد. همچنین عصاره به دست آمده به روش سوکله با اختلاف معنی داری نسبت به نمونه استاندارد و سایر عصاره ها بیشترین  $IC_{50}$  را دارا بود ( $p < 0.05$ ) (شکل شماره ۳).



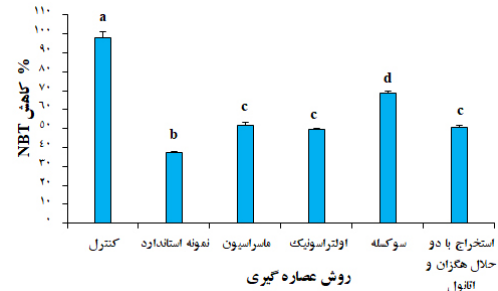
شکل شماره ۳: میزان  $IC_{50}$  نمونه استاندارد و عصاره های مختلف زرد چوبه بر سلول های سرطان روده. مقادیر ذکر شده میانگین سه بار تکرار  $\pm$  خطای استاندارد می باشد. حروف مشابه در بالای ستون ها معرف عدم تفاوت معنی دار بین میانگین های مقادیر  $IC_{50}$  هر نمونه در روش های مختلف عصاره گیری می باشد.



شکل شماره ۶: آزمون DNA Binding برای نشان دادن الگوی قطعه قطعه شدن DNA با استفاده از نمونه استاندارد کور کومین و عصاره های زرد چوبه.

های درمان‌های مختلف از جمله فعالیت آنتی‌اکسیدانی، ضد التهابی، ضد سرطانی، ضد رشد، ضد درد مفاصل، ضد افسردگی، ضد پیری، ضد دیابت، ضد میکروبی و فعالیت‌های افزایش دهنده حافظه مرتبط شده است. مهم ترین ترکیب موجود در زردچوبه، کورکومین بوده که به طور گسترده با بیش از ۵۶۰۰ استناد مورد مطالعه قرار گرفته است.<sup>(۳۱)</sup>

در این پژوهش به منظور معرفی روش بهینه عصاره‌گیری، خواص سیتوتوکسیستی و آنتی‌اکسیدانی و شکست DNA به وسیله عصاره‌های مختلف زردچوبه با چهار روش ماسراسیون، اولتراسونیک، سوکله و استخراج با استفاده از دو حلال هگزان و اتانول مورد بررسی قرار گرفت. بررسی خواص سیتوتوکسیستی و آنتی‌اکسیدانی این عصاره‌ها بر روی سلول‌های Caco-2 سرطان روده به وسیله آزمون‌های NBT و MTT مورد بررسی قرار گرفت. سپس به منظور بررسی شکست DNA توسط عصاره‌های این گیاه، آزمون DNA-Binding صورت گرفت. علاوه بر کورکومین استاندارد، همه عصاره‌های مختلف زردچوبه فعالیت ممانعت‌کننده رشد سلول‌های سرطانی معنی داری نسبت به نمونه‌های شاهد نشان دادند. طبق بررسی‌های صورت گرفته بر روی خواص سیتوتوکسیستی عصاره‌های زردچوبه بر روی سلول‌های Caco-2 سرطان روده، بعد از نمونه استاندارد کورکومین با  $IC_{50} = 6/49 \mu\text{g mL}^{-1}$ ، کمترین  $IC_{50}$  مربوط به عصاره استخراجی با دو حلال هگزان و اتانول بود ( $IC_{50} = 12/77 \mu\text{g mL}^{-1}$ ). Nori و همکارانش در سال ۲۰۱۶، با استفاده از دستگاه HPLC مقدار کورکومین حاصله از روش‌های مختلف عصاره‌گیری زردچوبه را در مقایسه با کورکومین بررسی نمودند. بررسی آن‌ها نشان داد که بیشترین مقدار کورکومین حاصله از این روش به ترتیب مربوط به عصاره‌گیری به روش ماسراسیون و اولتراسونیک بوده و عصاره سوکله کمترین مقدار کورکومین را دارا بود. بررسی خواص



شکل شماره ۵: میزان ROS درون سلولی تیمار شده توسط

نمونه استاندارد کورکومین و عصاره‌های مختلف زردچوبه در غلاظت  $20 \mu\text{g mL}^{-1}$  حروف مشابه در بالای ستون‌ها معرف عدم تفاوت معنی‌دار بین میانگین‌های مقادیر درصد کاهش NBT هر نمونه در روش‌های مختلف عصاره‌گیری می‌باشد.

#### نتایج بررسی آزمون DNA-Binding

بررسی ترکیب DNA و عصاره‌های مختلف زردچوبه و هم‌چنین نمونه استاندارد کورکومین تیمار شده بر روی ژل آگاروز حاکی از آن بود که علاوه بر توان کورکومین در قطعه قطعه کردن DNA، به ترتیب عصاره‌های استخراج شده با دو حلال هگزان و اتانول، ماسراسیون، سوکله و اولتراسونیک زردچوبه در غلاظت  $20 \text{ mg L}^{-1}$  قادر به قطعه قطعه شدن DNA<sup>۱۴</sup> بوده اند (شکل شماره ۶).

## بحث

در سال‌های اخیر، توجه زیادی به شناسایی مواد شیمیایی گیاهی موجود در رژیم غذایی با توان مهار کننده‌گی فرآیندهای مرتبط با سرطان متمن‌کریز شده است. عصاره گیاهان یا مواد تشکیل دهنده آن‌ها، به عنوان ترکیباتی با اثرات باز دارندگی در مقابل مواد شیمیایی که موجب سرطان می‌شوند، شناخته شده‌اند.<sup>(۳۰)</sup> زردچوبه به عنوان یک ترکیب گیاهی ضد سرطان امید بخش، شناخته شده است. زردچوبه، پودر خشک به دست آمده از ریزوم *Curcuma longa*، برای قرن‌ها در مناطق مختلف جهان استفاده شده و به فعالیت-

<sup>14</sup> DNA fragmentation

BHA و trolox، tocopherol- $\alpha$ <sup>۱۶</sup> و BHT<sup>۱۷</sup>(آنتی اکسیدان های سنتزی که به طور گستردگی در صنایع غذایی، برای جلوگیری از فساد مواد غذایی و اکسید شدن آنها به کار می روند کمتر می باشد(۳۵، ۳۷). براساس کارهای Iqbal و همکاران در سال ۲۰۰۳، کورکومین از طریق فعال کردن برخی آنزیم های متاپولیزه کننده از جمله گلوتاتایون ترانسферازها و ردوکتازها، در موش سرطانی موجب خنثی کردن رادیکال های آزاد مشتق شده از مواد شیمیابی سرطان زا می شود(۳۸). غلظت های به کار رفته در این مطالعه، بیانگر نقش عصاره های مختلف زرد چوبه در کاهش میزان رادیکال های آزاد بود.

آپوپتوز، مرگ برنامه ریزی شده سلول می باشد که با یک سری از ویژگی ها مشخص می شود. یکی از شاخص های برجسته و مهم آپوپتوز، قطعه قطعه شدن DNA می باشد(۳۹). انجام این آزمون با نمونه استاندارد کورکومین و عصاره های مختلف زرد چوبه، شکسته شدن DNA به قطعات مختلف را نشان داد. نتایج حاصل از بررسی آزمون DNA-Binding بیانگر آن است که همه عصاره ها در جاتی از قطعه قطعه شدن را نشان دادند و توانستند ماده ژنتیکی را استحاله یافته کرده و آن را به قطعات کوچک تر تبدیل کنند که مکانیسم برخی از داروهای ضد سرطان برای القای مرگ سلولی می باشد (شکل شماره ۶). عملده داروهای مورد استفاده در شیمی درمانی می توانند در دسته های زیر قرار بگیرند که شامل عوامل آلکیله کننده، آنتی متاپولیت ها، آنترا سیکلین ها، ممانعت کننده های توپوایزومرازها و عوامل ضد تومور هستند. تمام این داروها بر روی تقسیم سلولی اثر می گذارند و یا مانع سنتز DNA می گردند(۴۰). درمان پزشکی رایج در از بین بردن سلول های سرطانی از طریق فرآیندی به نام نکروز صورت می گیرد که شامل مرگ سلول های سرطانی با استفاده از روش های

ضد سرطانی در این گزارش نیز نشان داد که کمترین بقا سلول های سرطانی تیمار شده مربوط به عصاره استخراجی با دو حلال هگزان و اتانول بوده که علت آن می تواند خروج ترکیبات غیر قطبی با حلال هگزان و استخراج ترکیبات قطبی (از جمله کورکومین) با حلال دوم یعنی اتانول باشد(۳۲). همان گونه که در این بررسی مشاهده شد بعد از عصاره استخراجی با دو حلال هگزان و اتانول، کمترین بقا سلول های سرطانی تیمار شده مربوط به عصاره گیری به روش ماسرسایون و اولتراسونیک بوده و عصاره سوکله توانایی کمتری در از بین بردن سلول های سرطانی دارد. از آنجا که فعالیت ضد سرطانی کورکومین موجود در زرد چوبه به اثبات رسیده است می توان گفت نتایج حاصل از این بررسی با نتایج حاصل از تعیین میزان کورکومین در عصاره های مختلف زرد چوبه توسط Noori و همکارانش هم خوانی دارد(۳۲). Naama و همکارانش در سال ۲۰۱۰ طی بررسی اثر کورکومین و عصاره اتانولی زرد چوبه در مقایسه با دو کسوروبیسین به عنوان کنترل مثبت، بر روی سلول سرطانی کبد انسان<sup>۱۵</sup> در شرایط آزمایشگاهی نشان دادند که کورکومین خالص و عصاره اتانولی آن پتانسیل بالقوه ای در پیشگیری و درمان سرطان دارد(۳۳). Srivastava و همکارش در سال ۲۰۱۵ نشان دادند که در دوز های بالایی از کورکومین بر روی سلول های سرطانی، آپوپتوز در سلول ها ایجاد شده و حداکثر کاهش رشد را نشان داد. همچنین عصاره های گیاه زرد چوبه در شرایط آزمایشگاهی در برابر سمیت سلول های سرطانی رده Hep2 انتخابگری نشان داده و بسیار موثر عمل کردند(۳۴). بررسی های حاصل از NBT بر روی عصاره ها بیانگر کاهش درصد رادیکال های آزاد سلول های سرطانی توسط عصاره های مختلف بود. طبق بررسی Ak و همکارش در سال ۲۰۰۸ اثر مهار کنندگی تولید رادیکال های سوپر اکسید توسط کورکومین، از

<sup>۱۶</sup> Butylated hydroxyanisole<sup>۱۷</sup> Butylated hydroxytoluene<sup>۱۵</sup> Human hepatocellular livercarcinoma

را به عنوان مکانیسم احتمالی درمان سرطان روده بزرگ ارائه دادند. در مقایسه با ترکیبات متیله کننده غیر اختصاصی، کورکومین تغییرات متیلاسیون DNA را فقط در زیر مجموعه ژن‌های متیله کننده فراهم می‌کند که دیدگاه‌های جدیدی برای مکانیسم‌های اثر بخشی قوی این ترکیب دارویی در رژیم غذایی را فراهم می‌کند (۴۴). در بررسی انجام شده علاوه بر کورکومین، عصاره مختلف زرد چوبه نیز قادر به برهم‌کنش قابل ملاحظه با DNA بودند.

بنابراین به نظر می‌رسد عصاره‌های مورد بررسی به دلیل دارا بودن ترکیبات فتلی و خاصیت آنتی‌اکسیدانی ناشی از حضور این ترکیبات بالاً خص کورکومین، از طریق کاهش میزان ROS و توانایی قطعه کردن DNA به قطعات کوچک‌تر به ترتیب منجر به درمان یا از بین بردن سلول‌های سرطانی می‌شود. عصاره استخراجی با دو حلal هگزان و اتانول زرد چوبه پتانسیل بالایی در توسعه داروهای مدرن دارد و می‌تواند به عنوان یک منبع مفید از ترکیبات جدید پیشرو یا فارماکوفورها معرفی گردد.

## سپاسگزاری

نگارندگان از معاونت پژوهشی دانشگاه شهید چمران اهواز به لحاظ تامین هزینه‌های این پژوهش (پژوهنهای شماره ۹۴/۳۰۲، ۳۱۵۷۹ و شماره ۳۱۵۸۰) در قالب پایان‌نامه کارشناسی ارشد تشکر و قدردانی می‌نمایند.

## References

- Haji sharifi A. Secrets of medicinal plants. Tehran:Hafeze Novin; 2003.
- Bahrami M, Afshari Z, Ahmadi F, Mohiti MJ, Jalali-Khanabadi BA,

خارجی همانند شیمی درمانی سمی، تشعشع و یا جراحی است. این در حالی است که برخی ترکیبات گیاهی از جمله کورکومین، سلول‌های سرطانی را از طریق فرآیندی به نام آپوپتووز از بین می‌برند که طی یک برنامه‌ریزی منظم چرخه زندگی سلول به پایان می‌رسد و اجازه داده می‌شود که با یک سلول سالم جدید جایگزین شود تا موجب نگهداشتن بافت، اندام و سلامت بدن گردد. کورکومین موجب فعال شدن ژن‌های خاصی (ژن P53) شده که موجب توقف عملکرد سلولی می‌شوند (۴۱). کورکومین موجب توقف بخشی از فرایندی می‌شود که در آن دو رشته DNA سلول بیمار تقسیم می‌شوند. کورکومین با برهم کنش با بسیاری از پیام‌سان‌های شیمیابی مختلف که در سلول‌های سرطانی منحصر به فرد هستند، از تکثیر انواع خاصی از سلول‌های سرطانی ممانعت کرده اما تکثیر سلول‌های سالم را متوقف نمی‌کند (۴۲). در بررسی‌های Cao و همکاران در سال ۲۰۰۶ بر روی عدم آسیب DNA در دوزهای پایین نشان می‌دهد که سطح پایین کورکومین ( $5 \mu\text{g mL}^{-1}$ ) موجب تحریک آسیب بر DNA نشده و ممکن است نقش آنتی‌اکسیدانی در بروز سرطان ایفا کند. اما در دوزهای بالا ( $10-40 \mu\text{g mL}^{-1}$ ) کورکومین باعث تنش اکسیداتیو و آسیب به ساختار DNA سلول سرطانی می‌شود. داده‌های به دست آمده از این پژوهش، فرضیه این که کورکومین نقش دوگانه متضاد در بروز سرطان ایفا می‌کند را تقویت نمود. هم‌چنین، آسیب گسترده DNA میتوکندریا باید ممکن است یک رویداد اولیه تحریک مرگ سلولی ناشی از کورکومین باشد (۴۳) که با گزارش داده شده از این بررسی در غلظت  $20 \mu\text{g mL}^{-1}$  هم خوانی دارد. Link و همکاران در سال ۲۰۱۳ شواهدی برای تغییرات متیلاسیون DNA به واسطه کورکومین نشان دادند و آن

- Moradi A. Evaluation of phenolic content of turmeric hydroalcoholic extract in Iran by singleton method. *J Shahid Sadoughi Univ Med Sci.* 2013; 21(3): 281-290.
3. Vorobiof DA, Abratt R. The cancer burden in Africa. *S Afr Med J.* 2007; 97(10): 937-939.
  4. Kuete V, Efferth T. Pharmacogenomics of Cameroonian traditional herbal medicine for cancer therapy. *J Ethnopharmacol.* 2011; 137(1): 752-766.
  5. Jemal A, Siegel R, Ward E, Hao Y, Xu J, Murray T, et al. Cancer statistics. *Cancer J Clin.* 2008; 58(2): 71-96.
  6. Yin X, Zhou J, Jie C, Xing D, Zhang Y. Anticancer activity and mechanism of *Scutellaria barbata* extract on human lung cancer cell line A549. *Life Sci.* 2004; 75(18): 2233-2244.
  7. Rockwell S, Liu Y, Higgins SA. Alteration of the effects of cancer therapy agents on breast cancer cells by the herbal medicine black cohosh. *Breast Cancer Res Treat.* 2005; 90(3): 233-239.
  8. Greenwell M, Rahman PKS M. Medicinal Plants: Their Use in Anticancer Treatment. *Int J Pharm Sci Res.* 2015; 6(10): 4103-4112.
  9. Pongnikorn S, Fongmoon D, Kasinrerk W, Limtrakul PN. Effect of bitter melon (*Momordica charantia* Linn) on the level and function of natural killer cells in cervical cancer patients with radiotherapy. *J Med Assoc Thai.* 2003; 86(1): 61-68.
  10. Lawrence CM, Chiu Ho, Elanine YL, Vincent EC. Ethyl acetate extract of *Patrinia scabiosaeifolia* downregulates anti-apoptotic Bcl-2/Bcl-XL expression, and induces apoptosis in human breast carcinoma MCF-7 cells independent of caspase-9 activation. *J Ethnopharmacol.* 2006; 105(1-2): 263-268.
  11. Chen X, Hu Z, Yang X, Huang M, Gao Y, Tang W, et al. Monitoring of immune responses to a herbal immunomodulator in patients with advanced colorectal cancer. *Int Immunopharmacol.* 2006; 6(3): 499-508.
  12. Jing Y, Nakajo S, Xia L, Nakaya K, Fang Q, Waxman S, et al. Boswellic acid acetate induces differentiation and apoptosis in leukemia cell lines. *Leuk. Res.* 1999; 23(1): 43-50.
  13. Baum M, Ernst E, Lejeune S, Horneber M. Role of complementary and alternative medicine in the care of patients with breast cancer: Report of the European Society of Mastology (EUSOMA) Workshop, Florence, Italy, December 2004. *Eur J Cancer.* 2006; 42(12): 1702-1710.
  14. Lian Z, Niwa K, Gao J, Tagami K, Mori H, Tamaya H. Association of cellular apoptosis with anti-tumor effects of the Chinese herbal complex in endocrine-resistant cancer cell line. *Cancer Detect Prev.* 2003; 27(2): 147-154.
  15. Yin SY, Wei WC, Jian FY, Yang NS. Therapeutic applications of herbal medicines for cancer patients. *Evid. Based Complement. Alternat. Med.* 2013; 2013: 1-15.

16. Anand P, Sundaram C, Jhurani S, Kunnumakkara AB, Aggarwal BB. Curcumin and cancer: an "old-age" disease with an "ageold" solution. *Cancer Lett.* 2008; 267(1): 133-164.
17. Boon H, Wong J. Botanical medicine and cancer: a review of the safety and efficacy. *Expert Opin Pharmacother.* 2004; 5(12): 2485-2501.
18. Wargovich MJ. Nutrition and cancer: the herbal revolution. *Curr Opin Clin Nutr Metab Care.* 1999; 2(5): 421-424.
19. Sa G, Das T. Anti cancer effects of curcumin: cycle of life and death. *Cell Div.* 2008; 3: 14.
20. Wakte PS, Sachin BS, Patil AA, Mohato DM, Band TH, Shinde DB. Optimization of microwave, ultra-sonic and supercritical carbon dioxide assisted extraction techniques for curcumin from Curcuma longa. *Sep Purif Technol.* 2011; 79(1): 50-55.
21. Lin JK. Molecular targets of curcumin. *Adv Exp Med Biol.* 2007; 595: 227-243.
22. Varalakshmi Ch, Ali AM, Pardhasaradhi BV, Srivastava RM, Singh S, Khar A. Immunomodulatory effects of curcumin: In-vivo. *Int Immunopharmacol.* 2008; 8(5): 688-700.
23. Sarkar FH, Li Y, Wang Z, Padhye S. Lesson learned from nature for the development of novel anti-cancer agents: implication of isoflavone, curcumin, and their synthetic analogs. *Curr Pharm Des.* 2010; 16(16): 1801-1812.
24. Zetterström S. Isolation and synthesis of curcumin. Bachelor's Thesis, Linköping University Department of Physics, Chemistry and Biology, 2012.
25. Rouhani S, Alizadeh N, Salimi S, Hajighasemi T. Ultrasonic Assisted Extraction of Natural Pigments from Rhizomes of Curcuma Longa L. *Prog Color Colorants Coat.* 2009; 2(2009): 103-113.
26. Apisariyakul A, Vanittanakom N, Buddhasukh D. Antifungal activity of turmeric oil extracted from Curcuma longa (Zingiberaceae). *J Ethnopharmacol.* 1995; 49(3): 163-169.
27. Vijayaratna S, Sasidharan S. Cytotoxicity of methanol extracts of Elaeis guineensis on MCF-7 and Vero cell lines. *Asian Pac J Trop Biomed.* 2012; 2(10): 826-829.
28. Jeon HJ, Choi HS, Lee OH, Jeon YJ, Lee BY. Inhibition of Reactive Oxygen Species (ROS) and Nitric Oxide (NO) by Gelidium elegans Using Alternative Drying and Extraction Conditions in 3T3-L1 and RAW 264.7 Cells. *Prev Nutr Food Sci.* 2012; 17(2); 122-128.
29. Samarghandian S, Shabestari MM. DNA fragmentation and apoptosis induced by safranal in human prostate cancer cell line. *Indian J Urol.* 2013; 29(3): 177-183.
30. Inano H, Onoda M, Inafuku N, Kubota M, Kamada Y, Osawa T, et al. Chemoprevention by curcumin during the promotion stage of tumorigenesis of mammary gland in rats irradiated

- with  $\gamma$ -rays. *Carcinogenesis*. 1999; 20(6): 1011-1018.
31. Ahmad R. Anticancer Potential of Medicinal Plants *Withania Somnifera*, *Tinospora Cordifolia* and *Curcuma Longa*: A Review. *World Res J Med Aromat Plant*. 2015;3(1): 2278-9863.
  32. Noori S, Kiasat AR, Kolahi M, Mirzajani R, Seyyed Nejad SM. Survey of different extraction methods for the best method determination of curcumin extraction on different extracts of turmeric and comparison of chemical and antioxidant properties. *Echophotochemistry Medical Plants J*. 2016; 4(3): 1-11.(persian).
  33. Naama JH, Al-Temimi AA, Al-Amiry AAH. A study on the anticancer activities of ethanolic curcumin extract. *Afr J Pure Appl Chem*. 2010; 4(5): 68-73.
  34. Srivastava P, Srivastava A. In vitro anti-cancer activity of ethanolic extract of curcumin longa (turmeric) in HEp-2 cell lines. *Int J Eng Res General Sci*. 2015; 3(5): 495-508.
  35. Ak T, Gülcin İ. Antioxidant and radical scavenging properties of curcumin. *Chem Biol Interact*. 2008; 174(1): 27-37.
  36. Witschi HP. Safety evaluation of butylated hydroxytoluene (BHT) in the liver, lung and gastrointestinal tract. *Food Chem Toxicol*. 1986; 24(10-11): 1127-1130.
  37. Grice HC. Enhanced tumor development by butylated hydroxyanisole (BHA) from the prospective of effect on forestomach and oesophageal squamous epithelium. *Food Chem Toxicol*. 1988; 26(8): 717-723.
  38. Iqbal M, Sharma SD, Okazaki Y, Fujisawa M, Okada S. Dietary supplementation of curcumin enhances antioxidant and phase II metabolizing enzymes in ddY male mice: possible role in protection against chemical carcinogenesis and toxicity. *Pharmacol Toxicol*. 2003;92(1):33-38.
  39. Hashemi M, Ghavami S, Karami Tehrani F. Apoptosis, programmed cell death. *Zahedan J Res Med Sci*, 2003; 5(1): 9-15.(persian).
  40. Cheung-Ong K, Giaever G, Nislow C. DNA-damaging agents in cancer chemotherapy: serendipity and chemical biology. *Chem Biol*. 2013; 20(5): 648-659.
  41. Thayyullathil F, Chathoth S, Hago A, Patel M, Galadari S. Rapid reactive oxygen species (ROS) generation induced by curcumin leads to caspase-dependent and -independent apoptosis in L929 cells. *Free Radic Biol Med*. 2008; 45(4): 1403-1412.
  42. Choudhuri T, Pal S, Das T, Sa G. Curcumin selectively induces apoptosis in deregulated cyclin D1-expressed cells at G2 phase of cell cycle in a p53-dependent manner. *J Biol Chem*. 2005; 280(20): 20059-20068.
  43. Cao J, Jia L, Zhou HM, Liu Y, Zhong LF. Mitochondrial and nuclear DNA damage induced by curcumin in human hepatoma G2 cells. *Toxicol Sci*. 2006; 91(2): 476-483.

44. Link A, Balaguer F, Shen Y, Lozano JJ, Leung HCE, Boland CR, et al. Curcumin modulates DNA methylation in colorectal cancer cells. *PLoS One*. 2013; 8(2): p. e57709.